

II-17 壁面マサツ変動スペクトル

京大防災研究所 (正) ○余越 正一郎
(正) 角屋 駿

1° wall shear もまた他の乱流量と同じように時間的平均値とそれからの変動量との和としてあらわすことができるが、wall shear の変動量に関する研究はまだ余りない。その統計的な性質は wall に接して運動する乱子の運動のあらわれである比でいよいよある。開水路流れには水深によつて制限された最大乱子をはじめ、更にそれより小さい種々の階級の乱子が含まれてあり、その夫々がシアーの変動を起しているものとするとき、シアーの変動は一つのスペクトルを形成するものと考えられる。wall shear のスペクトルの研究は変動シアーの構造に関するやれやれの知識を深めればかりではなく、ひろく乱流境界層の構造と、その中で起る種々の乱流現象に関する知識を深める上にも重要な価値をもつものと思われる。

2° 次に turbulent wall shear のスペクトルの形を求めてみる。(記号は Landau-Lifshitz の ref. にならう)。速度変動を種々の階級の乱子速度に分解して考え、シアーの変動も乱子の運動に結びつけを考えれば、 $\delta_x \sim \rho V_x^2$ としていいであろう。 δ_x 、 V_x は夫々階級の乱子速度と乱子の大さ入との間にには Kolmogorov-Obukhov則 $V_x^3/\lambda \sim E$ (const.) が成立するとして、 $\delta^2 \sim \rho^2 \epsilon^{4/3} \lambda^{4/3}$ となり、 $\delta_x \sim \lambda^{\gamma}$ なる定数を用ひ wall shear のスペクトルに函数は

$$\sum(\delta_x) \sim \rho^2 \epsilon^{4/3} \lambda^{-7/3} \quad (1)$$

最大乱子より大きい領域では乱流粘性が最大乱子の乱流粘性に等しく保たれるとして。(Karmann-Liu の仮定) $V_x \lambda \sim \nu_{turb}$ であるから、スペクトル函数形は次となる。

$$\sum(\delta_x) \sim \rho^2 \nu_{turb}^{4/3} \lambda^{-3} \quad (2)$$

3° 次に測定方法について述べる。機器は受感部を水路床と等しくなるようにサスペンションして振子構造としたもので、受感部の変位とシアーとの間に比例関係がある。受感部の大きさ: $15\text{cm} \times 6\text{cm}$ 、測定可能範囲: $10^2 \text{dyn/cm}^2 \sim$ 、固有振動数: 0.312cps 、減衰率: 0.256 の様な特性をもつてゐる。受感部の運動は $x'' + 2\zeta x' + n^2 x = \sigma(t)$ (n, ζ : const.) であらわし、 $\sigma(t)$ と $x(t)$ の入出力函数を $\sum(\omega)$ 、 $\Phi(\omega)$ であらわすと

$$\sum(\omega) = [(n^2 - \omega^2)^2 + 4\zeta^2 \omega^2] \Phi(\omega) \quad (3)$$

の関係があり、減衰自由振動から定数を定めると、 $\zeta = 0.367$ 、 $n^2 = 3.97$ である。これにより受感部の変位のスペクトルがわかれば resonance と damping の問題が決まってシアーのスペクトルが求められること。

(*) Reviews of Modern Physics 卷(49), (***) <山川> は防災研年報 7号を参考。

蓋置は巾 50 cm, 深さ 20 cm, 長さ 39 m の可変勾配鉄製水路の下流から 1/3 の点の水路中央に設置してある。受感部の微小変位は差動変圧管で電圧変化にかえ変位測定器に指示する。データ解析のためにはこれを電子管式自動平衡計機に記録したもの E, AD converter を通して電子計算机 (PDP-1) にかけた。スペクトルの計算は Tukey の方法によった。データ読み取り周期は最小周期の 1/2 以下にし、記録長は最大乱子が少なくとも 20~30 回通過する時間とした。

4° 実測の一例を示す。多くの実測を行つたが、その一つを以下に記す。

水深 $h = 6.7 \text{ cm}$, 平均速度 $U_0 = 19 \text{ cm/sec}$, 平均シラ - $\sigma_0 = 0.62 \text{ dyn/cm}^2$, データ読み取り周期 $\Delta t = 0.3 \text{ sec}$, 読みとり総数 $N = 600$, 記録長 $N_{\text{out}} = 3 \text{ min}$, 相関点数 (number of lags) $m = 20$, このときの変位 (受感部) のスペクトルは Fig. 4 である。受感部の固有振動数に相当する点で共振を示していることがみられる。なお高周波側では、現象は受感部の大きさにもとづく周波数で切離される。

Fig. 1 E (3) 式で修正し、無次元化したものが Fig. 2 である。スペクトルの 3 領域がよくあらわされることがわかる。これは同様な実験を多數行つた結果からも言えることである。すなはち低周波側では速度変率スペクトルの 4 領域の成立する領域に相当する領域が存在していよいよでもあるが、本例は、生じしない。なお受感部の大きさにもとづく現象の切断周波数がすこし小さいため $\log \omega / U_0$ の測定は全く不可能である。

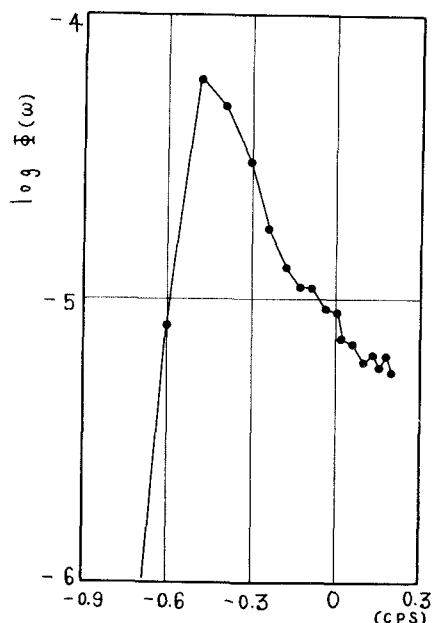


Fig. 1 $\log \omega_2$

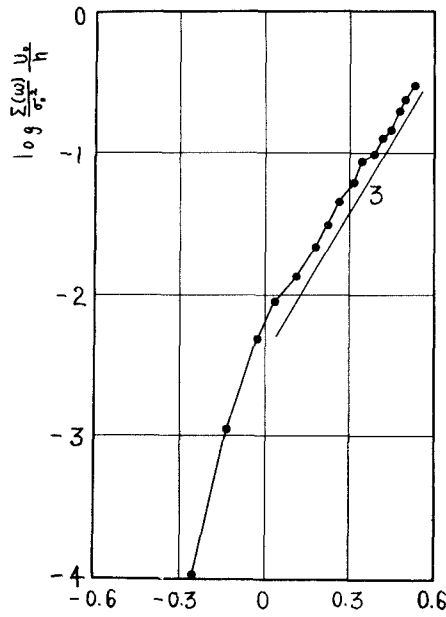


Fig. 2 $\log \frac{\omega}{h/U_0}$